

สมรรถนะของซุปเปอร์โซนิกสตีมอีเจคเตอร์พร้อมแนวทาง การวิเคราะห์การสูญเสียอย่างง่าย

Performance of Supersonic Steam Injectors and A Simple Loss Analysis

ไชยณรงค์ จักรธรรมนนท์

ภาควิชาวิศวกรรมเครื่องกล คณะวิศวกรรมศาสตร์ มหาวิทยาลัยธรรมศาสตร์ รังสิต
ถนนหลวง ปทุมธานี 12121

มิ่งศักดิ์ ตั้งตะกูล

ภาควิชาวิศวกรรมเครื่องกล คณะวิศวกรรมศาสตร์ จุฬาลงกรณ์มหาวิทยาลัย
ถนนพญาไท กรุงเทพฯ 10330

บทคัดย่อ

บทความนี้เสนอผลการศึกษาสมรรถนะของซุปเปอร์โซนิกสตีมอีเจคเตอร์ ที่มีนอซเชลปฐมภูมิที่มีความเร็วที่ทางออกเลนแมคเท่ากับ 2 โดยใช้ท่อผ่านสองลักษณะคือ ท่อตรงที่มีหน้าตัดคงที่และท่อตรงที่มีการเปลี่ยนแปลงหน้าตัดอย่างง่าย ผลการศึกษาพบว่าท่อผ่านแบบท่อตรงที่มีการเปลี่ยนแปลงหน้าตัดอย่างง่ายจะให้ประสิทธิภาพที่ดีกว่าท่อตรงที่มีหน้าตัดคงที่ และระยะห่างการติดตั้งด้านแม่น้ำที่เหมาะสมของนอซเชลปฐมภูมิวัดจากทางเข้าคือด้องท่อผ่านแบบท่อตรงที่มีการเปลี่ยนแปลงหน้าตัดอย่างง่ายจะมีค่าขึ้นอยู่กับเลนแมค (Mach No.) ของนอซเชลปฐมภูมิ

Abstract

This paper proposed the result of studying in performance of the supersonic steam injectors as Mach No. of primary nozzle is 2.0 In the experiments used the two types of mixing tubes are the constant and simple variable cross sections. Tests found that the simple variable mixing tube gave the higher efficiency than the other. And the appropriated distances between the primary nozzle exit to the simple variable mixing throat that is depend on its Mach No.

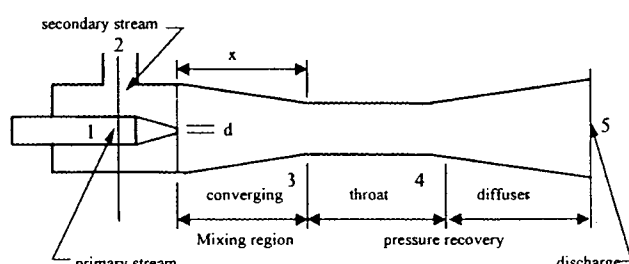
บทนำ

สตีมอีเจคเตอร์เป็นอุปกรณ์เพิ่มความดันให้กับไอน้ำที่มีความดันต่ำ ด้วยอย่างชั้น ไอน้ำที่ผ่านกระบวนการหลักแล้วจะมีความดันต่ำ เมื่อนำมาผ่านสตีมอีเจคเตอร์จะทำให้ได้ความดันสูงขึ้นหรือใช้ในการสร้างสูญญากาศสำหรับดูดอนุภาคต่างๆ โดยหลักการคือ จะใช้ไอน้ำความดันสูงให้ผ่านนอซเชลเพื่อทำให้เกิดความเร็วสูง และความดันจะต่ำลงเพื่อเหนี่ยวไนเอ่าไอน้ำความดันต่ำที่ให้เข้าไปผ่านด้วยกันผ่านท่อผ่าน และทำให้ได้ความดันที่ต้องการนำไปใช้งาน

งานวิจัยนี้ได้ศึกษาผลของการมีเตอร์ค่าง ที่มีผลอย่างไรต่อสมรรถนะของสตีมอีเจคเตอร์ เพื่อจะได้นำข้อมูลเหล่านี้ไปใช้ปรับปรุงประสิทธิภาพของสตีมอีเจคเตอร์ให้ดีขึ้น โดยพารามิเตอร์ที่ทำการศึกษานี้ดังนี้คือ ค่าอัตราส่วนของระยะห่างจากปลายทางออกของนอซเชลปฐมภูมิ กับค่าของท่อผ่านขนาดเส้นผ่านศูนย์กลางทางออกของนอซเชลปฐมภูมิ (x/d) ดังรูปที่ 1 เลขมัคความเร็วของไอน้ำจากนอซเชลปฐมภูมิ (M) อัตราส่วนการเหนี่ยวไนโดยมวล (E_m) ซึ่งเป็นอัตราส่วนระหว่างอัตราการไหลโดยมวลของไอลทุติยภูมิต่อของไอลปฐมภูมิ (\dot{m}_1 / \dot{m}_2) และค่าอัตราส่วนการอัด (P_{01}/P_{02})

ในงานวิจัยนี้นอกจากจะศึกษาผลของการมีเตอร์ดังกล่าวข้างต้น แล้ว ยังทดสอบและเมริบเที่ยบประสิทธิภาพของท่อผ่านแบบที่มีการเปลี่ยนแปลงพื้นที่หน้าตัดอย่างง่ายกับแบบที่มีพื้นที่หน้าตัดคงที่

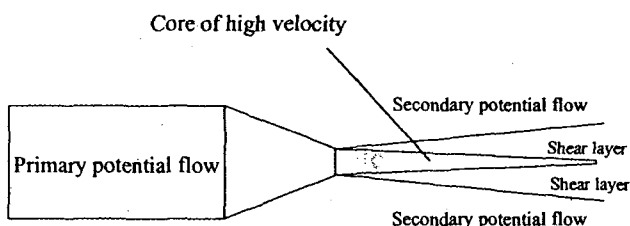
การวิเคราะห์ประสิทธิภาพ



รูปที่ 1 ร่างประกอบของสตีมอีเจคเตอร์

ของไอลปฐมภูมิ (primary stream) ที่ไหลออกจากนอซเชลปฐมภูมิ (primary nozzle) จะมีลักษณะเป็นเหมือนแท่งแกนความเร็วสูง โดยไอลที่แยกออกเป็นคนละชั้นจากกระแสนของไอลทุติยภูมิ (secondary stream) ด้วยชั้นของแรงเฉือน (shear layer) ที่มีค่าสูงมากและทำให้ได้ความดันที่ต้องการนำไปใช้งาน

ดังรูปที่ 2 ซึ่งเป็นการผสานแบบบีบป่วน (turbulence) ระหว่างชั้นของไอล์ฟทั้งสองกระแส โดยชั้นของแรงเรื่อนจะมีขนาดโตมากขึ้นตามระเบียบในแนวแกนการไหลที่มากขึ้น [1,2]



รูปที่ 2 ชั้นของแรงเรื่อนระหว่างไอล์ฟปูนภูมิและทุติยภูมิ

พิจารณาการไหลใน 1 มิติ จากสมการอนุรักษ์มวลเขียนได้เป็น

$$\dot{m}_1 + \dot{m}_2 = \dot{m}_e \quad (1)$$

และจากกฎข้อที่ 1 และ 2 ของเทอร์โนไ dinamik's สามารถนิยามประสิทธิภาพของสตีมอีเจคเตอร์ [3] ได้เป็น

$$\eta_a = 1 - \frac{\Delta s}{Em} \left[\frac{(I+Em)^2}{\left(\frac{h_{o1}-h_{o2}}{T_r} \right) + (s_2 - s_1) + \Delta s \left(I + \frac{1}{Em} \right)} \right] \quad (2)$$

เมื่อ

- η_a = ประสิทธิภาพที่สามารถนำมายใช้ประโยชน์ได้จริง
- \dot{m} = อัตราการไหลโดยมวลของไอน้ำ
- Em = อัตราส่วนอัตราการไหลโดยมวลของไอน้ำ, \dot{m}_2 / \dot{m}_1
- Δs = $s_{exp} - s_{ideal}$
- s_e = เอนโทรปีที่ทางออก
- h_o = เอน焓ลีสแตกเนชัน
- T_r = อุณหภูมิยังคง

โดย η_a แสดงถึง ความสามารถที่จะนำงานที่เทียบจากสภาวะต่ำสุดของงานที่จะนำไปใช้ประโยชน์ได้มาเรียบเทียบกับงานที่ให้ ซึ่งแตกต่างจากกฎข้อที่หนึ่งของเทอร์โนไ dinamik's ที่พิจารณางานที่ได้ทั้งหมดต่องานที่ให้เป็นประสิทธิภาพของอุปกรณ์ ดังนั้นประสิทธิภาพที่ได้จะมีค่าต่ำกว่าประสิทธิภาพตามกฎข้อที่หนึ่งของเทอร์โนไ dinamik's เท่ากับส่วนต่างของงานที่ได้ทั้งหมดกับงานที่สามารถนำมาใช้ประโยชน์ได้จริงต่องานที่ให้ ในที่นี้จะพิจารณาที่สภาวะก่อนทางเข้าของไอน้ำทุติยภูมิเป็นสภาวะต่ำสุดเพื่ออ้างอิง ในทางกลับกันถ้าหากพิจารณาในรูปของค่าความดันสูญเสียที่เกิดขึ้นในระบบ เราสามารถนิยามความดันรวมสูญเสียได้เป็น

$$Loss = \frac{P_{oi} - P_o}{P_{oi} - P_{o2}} \quad (3)$$

เมื่อ

- P_o = ความดันสแตกเนชันที่ทางออก
- P_{oi} = ความดันอุณหภูมิสแตกเนชัน
- P_{o2} = ความดันสแตกเนชันของไอล์ฟทุติยภูมิ

โดย loss ในสมการ (3) ให้ความหมายทางกายภาพคือถ้าหาก P_o มีค่าเข้าใกล้ P_{oi} แสดงว่าความดันสูญเสียน้อย Loss เข้าใกล้ค่า 0 ในทางตรงกันข้ามถ้าหาก P_o มีค่าเข้าใกล้ P_{o2} ซึ่งเป็นความดันที่ต่ำที่สุดของระบบแสดงว่าเกิดความดันสูญเสียมากค่า Loss มีค่าเข้าใกล้ 1

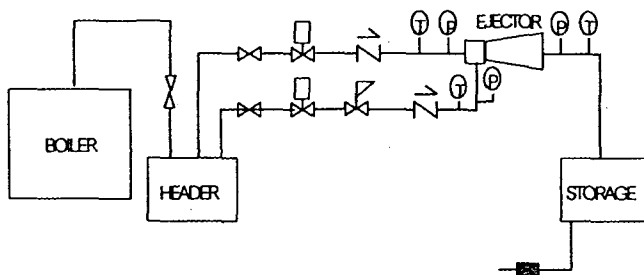
การติดตั้งชุดทดสอบ

จากรูปที่ 3 ไอน้ำทุติยภูมิจากหม้อต้มไอน้ำที่สามารถผลิตไอน้ำได้ประมาณ 80 kg/hr ที่ความดัน 10 bar ส่งไอน้ำผ่านท่อขนาดเส้นผ่านศูนย์กลาง 1 นิ้วไปยังถังท่อร้อนซึ่งมีขนาดเส้นผ่านศูนย์กลาง 8 นิ้วเพื่อเก็บไอน้ำก่อนถูกแยกเป็น 2 สาย สายแรกเป็นสายไอน้ำความดันสูงหรือไอน้ำปูนภูมิ (primary steam) และสายที่สองเป็นสายไอน้ำแรงดันต่ำหรือไอน้ำทุติยภูมิ (secondary steam) แต่เนื่องจากทั้งสองสายไอน้ำมีค่าใกล้เคียงกัน ดังนั้นจึงใช้วาล์วปรับแรงดัน (pressure regulator valve) ซึ่งติดตั้งต่อจากเครื่องวัดอัตราการไหลของไอน้ำ เป็นตัวปรับลดแรงดันให้ได้แรงดันตามที่ต้องการในสายของไอน้ำทุติยภูมิ และสามารถปรับอัตราการไหลโดยมາลาของแต่ละสายด้วย globe valve โดยเราจะทราบค่าอัตราการไหลโดยมวลได้จากเครื่องวัดอัตราการไหลของไอน้ำที่เป็นแบบวอเทกมิเตอร์ (vortex meter)

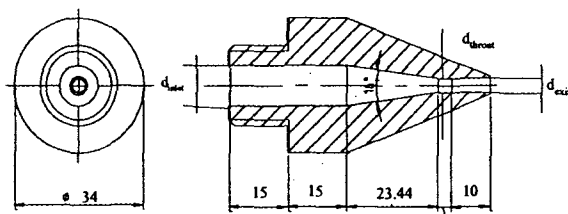
ในการทดลองจะกำหนดให้ความดันที่ทางเข้าของเชลล์มีค่าคงที่ตลอดการทดลอง (7.1 bar) และทำการเปลี่ยนค่าความดันของไอน้ำทุติยภูมิค่าต่างๆ เพื่อให้ได้อัตราส่วนความดันระหว่างไอล์ฟปูนภูมิต่อทุติยภูมิ (7.1, 4.73 และ 3.55) ที่ระยะ x/d ต่างๆ (0, 5, 10 และ 15) และทำการบันทึกค่าอัตราการไหลโดยมวล ความดัน และอุณหภูมิที่แต่ละหน้าตัด โดยค่าความดันสามารถอ่านได้จากเกจความดัน ซึ่งเป็นแบบ bourdon gauge ช่วง 0 ถึง 10 bar สำหรับอ่านค่าความดันทางเข้าของสายปูนภูมิ และทางออกของสตีมอีเจคเตอร์ และช่วง -30 mm Hg ถึง 10 bar สำหรับอ่านค่าความดันที่ทางเข้าของไอน้ำทุติยภูมิ ซึ่งอาจจะมีค่าความดันต่ำกว่า 0 บาร์เกจ ข้อเสียของชุดทดสอบก็คือ ไอน้ำในสายปูนภูมิและทุติยภูมิจากหม้อไอน้ำเดียวทั้งนี้มีความสามารถในการผลิตไอน้ำต่อหน่วยเวลาต่ำกว่าให้การปรับอัตราการไหลในสายที่หนึ่งจะมีผลกระทบต่ออัตราการไหลและความดันในสายที่สอง เวลาสามารถปรับค่า x/d ได้จากชุดแกนปรับระยะ ซึ่งมีลักษณะเป็นแท่งทองเหลืองทรงกระบอกกลวงที่มีขนาดเส้นผ่านศูนย์กลางภายใน 15 มม. คงที่ตลอดแนวศูนย์กลาง ดังแสดงในรูปที่ 4 และรูปที่ 5

การทดลองจะทดสอบตัวแปรต่างๆ ดังนี้คือ ผลของระยะห่างของนอชเชลล์ปูนภูมิกับ mixing throat (x/d) 4 ระยะ คือที่ 0, 5, 10 และ 15 เมื่อความเร็วของไอล์ฟปูนภูมิที่ออกจากนอชเชลล์มีค่าเลขมัค

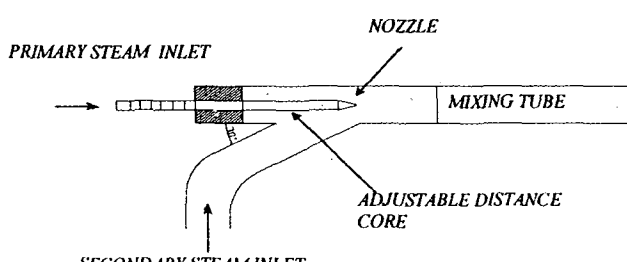
(M) เท่ากับ 2 แล้วนำผลการทดลองที่ได้มารวิเคราะห์หาประสิทธิภาพของแต่ละสภาวะดังแสดงในตารางที่ 1



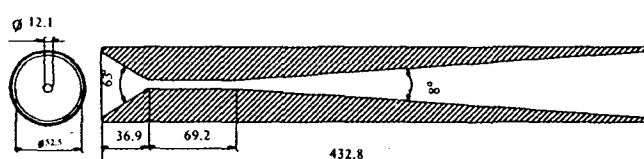
รูปที่ 3 ໄຄอะนกรมค่าແහນກາຕິດຕັ້ງອຸປະນນີອົງຈຸກສອນ steam ejector



รูปที่ 4 ນອຈເຈືບປຽມກົມີ



รูปที่ 5 ຜຸດທອມສນ



รูปที่ 6 ຜຸດສນ (mixing tube) ແນບພື້ນທີ່ຫຼັກຕັດເປີຍແປລັງ

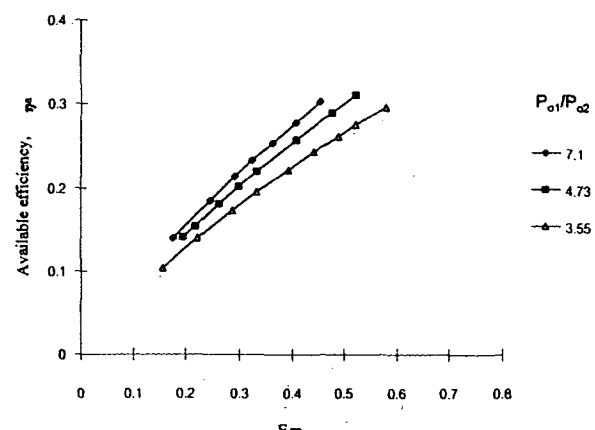
ตารางที่ 1 ແຜນສภาวะທີ່ກ່າວກາຕິດຕັ້ງອົງຈຸກສອນສຕິມອົຈຳເຕົວ

Mach No.	P_{o1}/P_{o2}	x/d	Em
2	7.1	0	0-0.7
	4.7	5	
	3.55	10	
		15	

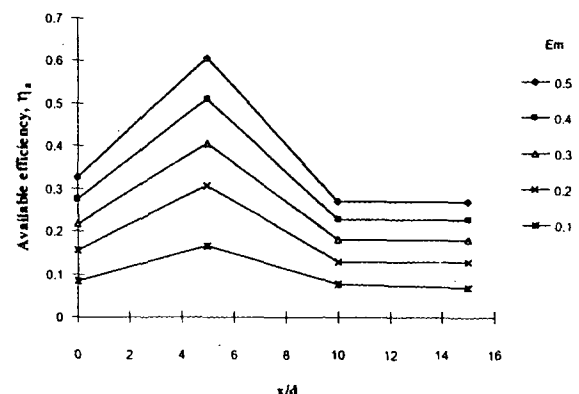
ผลการทดลอง

ໃນສ່ວນແລກກາຕິດຕັ້ງນີ້ຈະນໍາແປ່ງການນໍາເສັນອອກເປັນ 2 ສ່ວນ ອີ່ ສ່ວນແຮກ ຈະນໍາເສັນອອກກາຕິດຕັ້ງຂອງສຕິມອົຈຳເຕົວທີ່ໃຊ້ກັບທ່ອ ພົມແບນເປີຍແປລັງພື້ນທີ່ຫຼັກຕັດ ແລະ ສ່ວນທີ່ສອງເປັນການນໍາເສັນອອກ ກາຕິດຕັ້ງຂອງສຕິມອົຈຳເຕົວທີ່ໃຊ້ກັບທ່ອພົມແບນພື້ນທີ່ຫຼັກຕັດຄົງທີ່ ໂດຍໃນຕອນທ້າຍຈະນໍາເສັນກາເປົ້າຍເຖິງປະສິກິພາພື້ນທີ່ໄດ້ຈາກກາຕິດຕັ້ງຂອງທັງສອງສ່ວນ

ຈາກກາຕິດຕັ້ງພົມແບນ E_m ທີ່ມີຕົວປະສິກິພາພື້ນທີ່ສຕິມອົຈຳເຕົວ ພົບວ່າປະສິກິພາພື້ນທີ່ແປຣັນຕາມຄ່າ E_m ເມື່ອ E_m ມີຄໍາມາກົ່ານີ້ ປະສິກິພາພື້ນທີ່ສຕິມອົຈຳເຕົວທີ່ຈະມີຄໍາມາກົ່ານີ້ ໂດຍທີ່ຄ່າ $P_{o1}/P_{o2} = 7.1$ ໄດ້ປະສິກິພາພື້ນທີ່ສຸດເພະເປົ້າຍເຖິງປະສິກິພາພື້ນທີ່ P_{o1}/P_{o2} ສອດຄລັງກັນເລີ່ມ ມັກ 2 ກ່າວໃຫ້ຄວາມເກີດຄລືນຂອງຄວາມໃນຮ່ວ່າງກາຕິດຕັ້ງ ດັງລູກທີ່ 7.



รูปที่ 7 ເບີຍບເທິນຄ່າປະສິກິພາພື້ນທີ່ P_{o1}/P_{o2} ຕ່າງໆ ທີ່ $M = 2$ $x/d = 5$

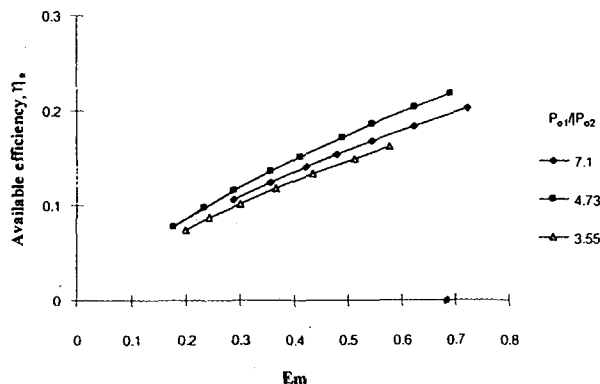


รูปที่ 8 ເບີຍບເທິນປະສິກິພາພື້ນທີ່ E_m ຕ່າງໆ ໂດຍໃຫ້ກັບສນ ແນບພື້ນທີ່ຫຼັກຕັດເປີຍແປລັງທັງສອນທີ່ $M = 2$ $P_{o1}/P_{o2} = 7.1$

ເນື້ອດຸລຂອງ x/d ທີ່ມີຕົວປະສິກິພາພື້ນທີ່ສຕິມອົຈຳເຕົວພົບວ່າ ຮະຍະທີ່ຕ່າງໆ ຈະໄຫ້ປະສິກິພາພື້ນທີ່ໄດ້ກັບ ດັງລູກທີ່ 8 ຊຶ່ງເບີຍບເທິນ x/d 4 ຮະຍະ ພົບວ່າປະສິກິພາພື້ນທີ່ໄດ້ມີຄໍາເປີຍແປລັງສູງຂຶ້ນຍ່າງມາກ ໃນຂ່າວ່າງກາຕິດຕັ້ງ $x/d = 0$ ປຶ້ງ $x/d = 10$ ແລະ ຈະເປີຍແປລັງເລັກນ້ອຍໃນ ຮະວ່າງຂ່າວ່າງ $x/d = 10$ ປຶ້ງ 15 ຊຶ່ງເປັນຮະຍະທີ່ອິທີພລເນື້ອຈາກຄວາມເວົ້ວ ສູງຂອງຂອງໄຫລປຽມກົມີໜົດໄປ ແລະ ກາຕິດຕັ້ງພົບວ່າພົມຂອງ P_{o1}/P_{o2}

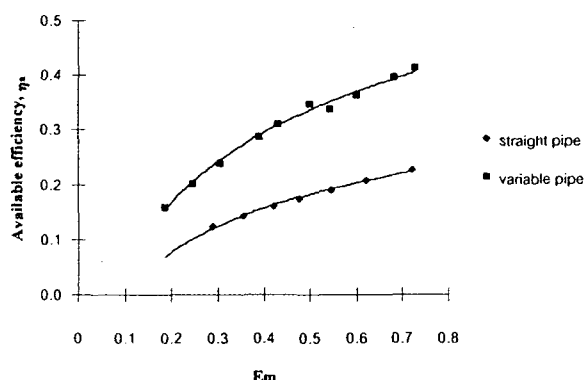
มีผลต่อประสิทธิภาพของสตีมอีเจคเตอร์น้อยมากเมื่อเปรียบเทียบกับผลของ E_m และ x/d

ในงานวิจัยนี้ได้ทำการทดสอบประสิทธิภาพของสตีมอีเจคเตอร์ เมื่อใช้ท่อผสานเป็นแบบหน้าตัดคงที่ ซึ่งพบว่าประสิทธิภาพจะเพิ่มขึ้น เมื่อค่า E_m มากขึ้นพบว่าประสิทธิภาพจะเพิ่มขึ้นเมื่อ E_m มากขึ้นและผลของ P_{o1}/P_{o2} ทั้งสามค่าให้ประสิทธิภาพไม่แตกต่างกันมากนัก ดังรูปที่ 9



รูปที่ 9 ประสิทธิภาพของสตีมอีเจคเตอร์ที่ใช้ท่อผสานที่เป็นแบบพื้นที่หน้าตัดคงที่ $M=2$

เมื่อนำมาฟีดประสิทธิภาพที่ได้จากข้อมูลการทดสอบท่อผสานแบบเปลี่ยนแปลงพื้นที่หน้าตัดมาเปรียบเทียบกับท่อผสานแบบที่มีพื้นที่หน้าตัดดังรูปที่ 10 พบว่าท่อผสานแบบเปลี่ยนแปลงพื้นที่หน้าตัดจะให้ประสิทธิภาพสูงกว่าแบบที่มีพื้นที่หน้าตัดคงที่ประมาณ 20 % โดยการทดลองจะกำหนดให้ท่อหัวส่องแบบมีขนาดความยาวที่เท่ากัน



รูปที่ 10 เปรียบเทียบประสิทธิภาพของท่อผสานแบบที่มีพื้นที่หน้าตัดเปลี่ยนแปลงกับแบบที่มีพื้นที่หน้าตัดคงที่ที่ $P_{o1}/P_{o2} = 7.1$

วิจารณ์

ถ้าหากทำให้การผสานกันระหว่างท่อที่มีระดับความดันแตกต่างกันเกิดการสูญเสียน้อยที่สุด (minimum loss) ก็จะได้ประสิทธิภาพสูงที่สุด โดยพารามิเตอร์อื่นนอกจากความดันทั้งสองค่าจะต้องผสานเข้าด้วยกันอย่างสอดคล้องแล้ว ยังขึ้นกับปัจจัยของท่อผสานอีกด้วย ดังเช่นในรูปที่ 8 ประสิทธิภาพที่ได้จากการทดสอบแบบเปลี่ยนแปลง

หน้าตัดอย่างง่ายได้ประสิทธิภาพสูงสุดที่ $P_{o1}/P_{o2} = 7.1$ ซึ่งให้ค่าประสิทธิภาพสูงกว่าท่อผสานที่มีหน้าตัดคงที่ แต่ประสิทธิภาพที่ได้จากการทดสอบที่มีหน้าตัดคงที่จะได้ประสิทธิภาพสูงสุดที่ $P_{o1}/P_{o2} = 4.73$ ดังรูปที่ 9 ทั้งนี้เนื่องจากท่อผสานเปลี่ยนแปลงพื้นที่หน้าตัดเป็นลักษณะลดลง (contraction) จะช่วยให้ของเหลวทุกหยาดเร่งให้มีความเร็วสูงขึ้น ส่งผลทำให้ผลิต่างความเร็วของของเหลวหัวส่องมีค่าน้อยลง ดังนั้นทำให้แรงเฉือนที่เกิดขึ้นในบริเวณชั้นของความเร็วที่แตกต่างกันมีค่าน้อยลง หรือความสูญเสีย (loss) น้อยลงนั่นเอง ซึ่งสอดคล้องกับผลที่ได้จากการฟูปีที่ 7 คือเมื่อ E_m มากขึ้นประสิทธิภาพก็สูงขึ้น หรืออธิบายได้ว่า การที่ E_m มากขึ้นหมายถึงอัตราการไหลโดยมวลของของเหลวทุกหยาดมีค่ามากขึ้น ซึ่งในการทดสอบพื้นที่หน้าตัดทางเข้าของของเหลวทุกหยาดมีค่าคงที่ ดังนั้นค่าความเร็วของของเหลวทุกหยาดมีค่าสูงขึ้น ทำให้ผลิต่างของความเร็วหัวส่องนั้นทุกหยาดมีค่าสูงขึ้น ซึ่งสอดคล้อง ดังผลทำให้ค่าแรงเฉือนระหว่างชั้นของของเหลวมีค่าน้อยลงตาม

เนื่องจากในงานวิจัยนี้ไม่สามารถตัวดัดการเปลี่ยนแปลงของความดันแต่ละระยะตลอดความยาวของท่อผสานให้ดังนั้นจึงขอนำเสนอแบบจำลองง่ายเพื่อวิเคราะห์ค่าความสูญเสียที่เกิดขึ้นภายใต้ท่อผสานนี้

ในการวิเคราะห์ประสิทธิภาพของสตีมอีเจคเตอร์สามารถพิจารณาส่วนประกอบดังๆ ที่ทำให้ประสิทธิภาพมีค่าน้อยลง หรืออยู่ในรูปของค่าความดันสูญเสีย (loss) สำหรับท่อผสานแบบเปลี่ยนแปลงพื้นที่หน้าตัดความสามารถในการลดรีสิวน้ำในรูปการสูญเสียแบบง่ายๆ โดยแบ่งการสูญเสียที่เกิดขึ้นได้จาก 3 ส่วนหลัก ส่วนแรกเป็นการสูญเสียเนื่องจากบริเวณชั้นของแรงเฉือน ส่วนที่สอง เป็นการสูญเสียเนื่องจากของเหลวในส่วนของบริเวณที่มีพื้นที่หน้าตัดคงที่และมีความเสียดทาน ส่วนที่สาม เป็นการสูญเสียเนื่องจากของเหลวในส่วนของบริเวณที่มีพื้นที่หน้าตัดเปลี่ยนแปลงและมีความเสียดทาน เมื่อพิจารณาการสูญเสียที่เกิดขึ้นจากส่วนแรก เริ่มต้นที่หน้าตัดที่หัวของท่อ 2 กระแทกที่มีความเร็วแตกต่างกันสูงเริ่มผสานกันจนถึงบริเวณก่อนเข้าห้องของท่อผสาน จะเกิดความสูญเสียตรงส่วนที่ชั้นของของเหลวหัวส่องมีค่าสูงมากทำให้เกิดการเปลี่ยนแปลงของอ่อนโน้มีสูง ตามสมการ (4) ของ Papamoschou [4] ซึ่งคำนวณจากกฎข้อที่สองของเทอร์โมไดนามิกส์

$$\frac{dS_{12}}{dx} \approx \frac{\tau_{dS}}{T_1 T_2} \left[T_{avg} \Delta U + C_p \frac{(\Delta T)^2}{\Delta U} \right] \quad (4)$$

และจะได้ $\dot{S}_{12} = \frac{\dot{S}_{12}}{\dot{m}_{12} R_{12}}$

หรือ $\psi = \frac{P_{of}}{P_{oi}}$

โดยที่

$$\dot{S}_{12} = \dot{S}_1 + \dot{S}_2$$

$$R_{12} = \left(\dot{m}_1 R_1 + \dot{m}_2 R_2 \right) / \left(\dot{m}_1 + \dot{m}_2 \right)$$

นำค่าการเปลี่ยนแปลงอ่อนโน้มีสูงที่คำนวณได้จากสมการที่ (3) แทนค่าเพื่อหาค่าอัตราส่วนความดัน (ψ) ทำให้สามารถหาค่าความดันในตำแหน่งดังไปได้

โดย Brown and Roshko's (1974) ได้ให้ค่าประมาณล่าหัวรับ หาค่าความเค้นเฉือนสูงสุดเป็นฟังก์ชันของอัตราการเกิดชั้นแรงเฉือน แบบเทอร์บิวเลนท์ความหนาแน่นและความเร็วของทั้งสองกระแส และค่า c_r และประมาณได้ว่า $\tau_{dsl} \cong \tau_{max}$ ดังนี้

$$\tau_{max} = c_r \rho_{avg} (\Delta U)^2 \frac{U_{avg}}{U_c} f(Mc) \quad (5)$$

โดยที่ $f(Mc) \cong 0.25 + 0.75e^{-Mc^2}$

เนื่องจากค่า convective velocity , U_c ซึ่งเป็นความเร็วที่ สัมพันธ์กับความเร็วของทั้งสองกระแสได้จาก [5]

$$U_c = U_1 - (Mc_1) * a_1 \quad (6)$$

โดยที่

$$Mc_1 = \overline{Mc} - \sqrt{\frac{dMc}{1 + \left(\frac{a_1}{a_2}\right)^2}}$$

$$\overline{Mc} = \frac{U_1 - U_2}{a_1 + a_2}$$

$$dMc = 1.5\overline{Mc} - 0.4 \quad \text{เมื่อ } \overline{Mc} > 0.27$$

ซึ่ง

Mc = convective Mach No.

a = ความเร็วเสียง

แต่สมการ (4) เป็นการประมาณค่าที่สภาวะที่ไม่มีผลลัพธ์ของช่องในสภาวะจริงถ้าหากความดันไม่สอดคล้องกันแล้ว จะทำให้เกิดคลื่นซึ่งเป็นสาเหตุทำให้เกิดความสูญเสียความดัน [6]

การคำนวณการเปลี่ยนแปลงภายในส่วนของท่อผส

เมื่อรู้ค่า P_0 , T_0 , เลมวัค และความยาวของความยาวส่วน ของท่อผส กำหนดสมดิฐานในสภาวะนี้เป็น

- 1.) การไหลแบบคงตัว
- 2.) ความเร็วของการไหลเท่ากันตลอดหน้าตัดนั้นๆ
- 3.) แรงกระทำต่อวัตถุ, $F_{xB} = 0$
- 4.) เป็นการไหลแบบอะไดนาติก, $\dot{\theta} = 0$
- 5.) $W_{shear} = W_{other} = 0$
- 6.) $W_s = 0$
- 7.) ไม่คิดผลที่เกิดจากแรงโน้มถ่วง

จะได้สมการการไหลของไหลแบบอัดตัวได้ผ่านพื้นที่หน้าตัด ที่คงที่แบบมีความเสียดทาน เนื่องจากท่อผสทำจากวัสดุทองเหลืองซึ่ง ให้ค่า $\epsilon = 76.2 \times 10^{-4}$ [7] จาก Moody chart $f = 0.0175$ เพราะฉะนั้นสภาวะที่หน้าตัดทางออกจากส่วนของท่อผส

$$\frac{P_{04}}{P_{03}} = \frac{M_3}{M_4} \left[\frac{2 + (\gamma - 1)M_4^2}{2 + (\gamma - 1)M_3^2} \right]^{\frac{1}{2}} \quad (7)$$

การคำนวณหาค่าความดันสูญเสียภายในดิฟฟิวเซอร์ สมมติฐานคือ

1. เป็นกระบวนการอะไดนาติก $T_4 = T_5$
2. ไม่เกิดการแยกชั้นของไหลและไม่เกิดการหมุนวน
3. การไหลแบบพัฒนาเต็มที่และความเร็วของของไหล สม่ำเสมอตลอดหน้าตัด
4. ไม่เกิดคลื่นซึ่งตลอดการไหล
5. การไหลแบบคงตัว
7. อนุรักษ์อัตราการไหลโดยมวล
8. ไม่เกิดแรงฉุดภายในท่อ

สมการการไหลผ่านดิฟฟิวเซอร์ที่มีความเสียดทานโดยมีการเปลี่ยนแปลงค่าเลขมัคและพื้นที่แต่ละหน้าตัดเปลี่ยนแปลง

$$\frac{dM^2}{M^2 dx} = \frac{2\phi}{I - M^2} \frac{dA}{Adx} + \frac{\gamma M^2 \phi}{I - M^2} \left(\frac{4f}{D} \right) \quad (8)$$

โดยที่ $\phi = I + \frac{\gamma - 1}{2} M^2$

$$A(x) = \frac{\pi}{4} (a + bx)^2$$

จากสมการความต่อเนื่องของมวล $\dot{m}_4 = \dot{m}_5$ ดังนี้

$$\frac{P_5}{P_4} = \frac{A_4 M_4}{A_5 M_5} \sqrt{\frac{T_5}{T_4}} \quad (9)$$

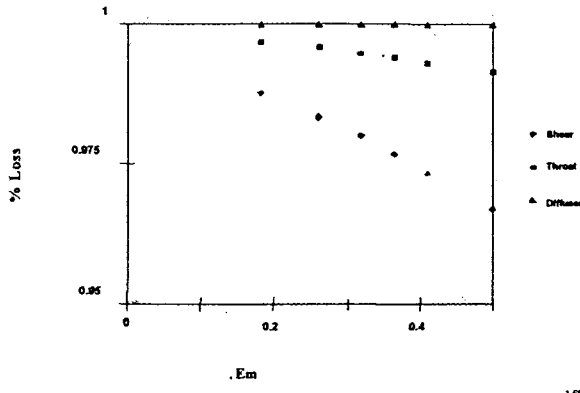
$$U_5 = M_5 (\gamma R T_5)^{1/2} \quad (10)$$

สำหรับความดันสูญเสียที่เกิดขึ้นในส่วนที่สองและส่วนที่สาม จะเกิดเนื่องจากของไหลไหลเข้าไปในท่อที่มีพื้นที่ที่มีความเสียดทาน เนื่องจากผนังของท่อผสที่มีพื้นที่หน้าตัดคงที่ [6] และพื้นที่หน้าตัดเพิ่มขึ้น [8,9]. ตามลำดับ และเมื่อพิจารณาความดันสูญเสียที่เกิดขึ้น จากทั้งสามส่วนจะเห็นว่า ความดันสูญเสียส่วนใหญ่จะเกิดจากส่วนแรก มากที่สุด ดังรูปที่ 12

และสำหรับท่อผสที่มีพื้นที่หน้าตัดคงที่แล้วจะพิจารณาค่า ความดันสูญเสียเกิดขึ้นเฉพาะจากสองส่วนแรกเท่านั้นโดยความดันสูญเสียส่วนใหญ่จะเกิดขึ้นในส่วนแรก

หากแบบจำลองการสูญเสียอย่างง่ายที่เกิดขึ้นในแต่ละส่วนของ ห้องของผสสมดิมอีเจคเตอร์ จะเห็นว่าทั้งห่อผสแบบหน้าตัดคงที่และ แบบหน้าตัดเปลี่ยนแปลงพื้นที่หน้าตัดอย่างง่ายความดันสูญเสียส่วน ใหญ่จะเกิดขึ้นที่บริเวณส่วนแรก ดังรูปที่ 12 ซึ่งเป็นส่วนที่ของไหลทั้ง ส่วนกระแสมีความเร็วแตกต่างกันมากเข้ามาผสกัน โดยความสามารถ ค่าประมาณของความดันที่เกิดขึ้นหลังจากผ่านบริเวณดังกล่าวได้จาก สมการ (4) ถึง (6) และจากสมการที่ (5) พนว่า τ_{max} เป็นฟังก์ชันของ ความเร็วของของไหลทั้งสอง ดังนั้นถ้าหากของไหลทั้งสองมีความเร็ว แตกต่างกันมากเท่าไรก็ทำให้ได้ τ_{max} มากขึ้นตาม แต่จากสมการที่

(4) ในแบบจำลองที่นำเสนอนี้วิจัยไม่ได้รวมผลอันเกิดเนื่องจากคลื่นรีดเช้าไปในสมการของแบบจำลองด้วย ซึ่งการกีดคั้นรีดเป็นปัจจัยที่ทำให้ประสิทธิภาพลดลง เช่น จังรูปที่ 9 มีค่าความดันไม่สอดคล้องกัน ดังนั้นประสิทธิภาพที่ได้จาก $P_{o1}/P_{o2} = 4.73$ จะมีค่ามากกว่า $P_{o1}/P_{o2} = 7.1$



รูปที่ 12 แสดงค่าความดันสูญเสียที่เกิดขึ้นในแต่ละส่วน

สำหรับค่าความสูญเสียที่เกิดขึ้นในส่วนที่ 2 และ 3 จะมีค่าน้อยลงตามลำดับเมื่อเทียบกับส่วนแรก ส่วนที่ 2 และ 3 ความสูญเสียเป็นความสูญเสียเนื่องจากความเรียบ friction โดยค่าความสูญเสียแปรผันตรงกับความเร็วยกกำลังสอง ดังนั้นเมื่อ Em มากขึ้นความเร็วมากขึ้นทำให้ค่าความสูญเสียก็จะเพิ่มขึ้นตาม แต่เมื่อรวมผลของความสูญเสียจากทุกๆ ส่วนแล้วประสิทธิภาพจะมีค่ามากขึ้นเมื่อ Em มีค่ามากขึ้น

นอกจากตัวแปรที่นำไปเสนอแล้วประสิทธิภาพของสตีมอิเจคเตอร์ยังอาจขึ้นกับตัวแปรอื่นๆ อีกด้วยเช่น รูปร่างของห่อผสม ความเร็ว เลขมัคที่ใช้ ฯลฯ

สรุป

งานวิจัยนี้สามารถสรุปได้ว่าค่า x/d มีผลต่อประสิทธิภาพการผสมกันของของเหลว สำหรับสตีมอิเจคเตอร์ที่ใช้ห่อผสมแบบพื้นที่หน้าตัดเปลี่ยนแปลงที่ $x/d = 5$ เมื่อ $P_{o1}/P_{o2} = 7.1$ จะให้ประสิทธิภาพสูงสุด และเมื่อเปรียบเทียบประสิทธิภาพระหว่างห่อผสมที่เป็นแบบหน้าตัดคงที่กับแบบเปลี่ยนแปลงพื้นที่หน้าตัดพบว่า ห่อผสมแบบเปลี่ยนแปลงพื้นที่หน้าตัดจะให้ประสิทธิภาพสูงกว่าประมาณ 20 % ส่วนสำหรับห่อผสมแบบพื้นที่หน้าตัดคงที่ที่ $P_{o1}/P_{o2} = 4.73$ จะให้ประสิทธิภาพสูงสุด

จากการวิเคราะห์ด้วยแบบจำลองการสูญเสียพบว่าค่าความดันสูญเสียส่วนใหญ่น่าจะเกิดขึ้นในส่วนเริ่มต้นของการผสมกันระหว่างของเหลวทั้งสองซึ่งมีความเร็วเริ่มต้นแตกต่างกันมาก

กิตติกรรมประกาศ

ผู้เขียนขอขอบพระคุณกรมส่งเสริมและพัฒนาอุตสาหกรรม ชาติที่ได้สนับสนุนงบประมาณมาอย่างส่วนในงานวิจัยฉบับนี้ ขอขอบพระคุณ ดร.อติ บุญจิตรดุลย์ อาจารย์ประจำภาควิชาวิศวกรรมเครื่องกล คณะวิศวกรรมศาสตร์ จุฬาลงกรณ์มหาวิทยาลัยที่ได้ให้ข้อคิดเห็น เสนอแนะ

แนวทางและความເອົາໃຈໄສເປັນອຍ່າງດີ ສຸດທ້າຍນີ້ຂອບພະຄຸນ ຮສ.ຄຣ. ນານີຈ ກອງປະເຊີງ ແລະ ຮສ.ຄຣ.ພົງໝໍ່ຮຣ. ຈົງຢູ່ຄູກາກົມທີ່ໄດ້ໃຫ້ຂອບເສົນອ ແນະແລກວາມເຫັນຕ່າງໆ ໃນງານວິຈີຍฉบັບນີ້

ເອກສານອ້ານອີງ

- [1] Hickman, K. E., Hill P., G. and Gilbert G. B., (1972); Analysis and Testing of Compressible Flow Ejector With Variable-Area Mixing Tubes, *Journal of Basic Engineering*, June, pp. 407-416.
- [2] Kurtz, E. F., (1976), Theoretical Model for Predicting Steam-Ejector Performance, *Journal of Engineering for Industry*, March, pp. 645-651.
- [3] Van Wylen, J. G. and Sonntag, R.E., (1973), *Fundamental of Classical Thermodynamics*. 2nd ed., USA.
- [4] Papamoschou, D., (1994), Model of Entropy Production and Pressure Variation in Confined Turbulent Mixing. *AIAA Journal*, September, pp. 1643-1650.
- [5] Papamoschou, D. and Bunyajitradulya A., (1997), Evolution of Large Eddies in Compressible Shear Layers, *Phys Fluid* 9(3), pp. 756-765.
- [6] Anderson, D. J., (1990), *Modern Compressible Flow*, 2nd ed., McGraw-Hill.
- [7] Busemann, *Convective heat transfer*, McGraw-Hill.
- [8] Hodge, B. K and Koenig, K., (1995), *Compressible Fluid Dynamics*, Prentice-Hall.
- [9] Shapiro, H. A., (1953), *The Dynamics and Thermodynamics of Compressible Fluid Flow Volume I*, The Ronald Press Company.